



PERÚ

Ministerio  
del Ambiente

Servicio Nacional de  
Meteorología e Hidrología  
del Perú - SENAMHI

SUBDIRECCION DE  
PREDICCIÓN CLIMÁTICA



*"Decenio de la Igualdad de Oportunidades para Mujeres y Hombres"  
"Año de la Esperanza y el Fortalecimiento de la Democracia"*

## INFORME TÉCNICO SENAMHI-ENFEN N°05-2026 MAYO 2026 Y CONDICIONES ACTUALES DE JUNIO 2026

### Componente Atmosférica: Monitoreo de Condiciones El Niño y Pronóstico Subestacional RESUMEN

En el Pacífico oriental (región Niño 1+2), el ICEN centrado en abril de 2026 registró un valor de +1.34 °C (condición cálida moderada), mientras que el valor mensual de mayo alcanzó +1.81 °C (ERSSTv5), evidenciando una tendencia hacia el incremento sustancial de las anomalías de la TSM en esta región, asociado al arribo de ondas de Kelvin cálidas, episodios frecuentes de debilitamiento y/o migración fuera de su posición climática del APS y debilitamiento de vientos costeros, con una persistencia del evento El Niño costero.

En el Pacífico central (región Niño 3.4), las anomalías positivas de TSM continúan fortaleciéndose, favorecidas por la predominancia de pulsos de vientos del oeste. Asimismo, índices atmosféricos como el SOI y el EQSOI ya muestran una respuesta atmosférica consistente con este calentamiento. Aunque el RONI aún registró un valor ligeramente negativo (-0.1 °C) en el trimestre marzo-abril-mayo, los valores mensuales y semanales más recientes evidencian una tendencia hacia condiciones cálidas. De acuerdo con el ensemble del C3S, se prevé que el calentamiento continúe intensificándose entre julio - noviembre y se extienda hacia el Pacífico central, favoreciendo la configuración de un evento El Niño de tipo canónico.

Durante mayo de 2026, la circulación de Walker presentó, en promedio, subsidencia en niveles medios y altos en la región norte del Perú, lo que favoreció una convección llana y una predominancia de déficits de precipitación. Hacia la temporada de menores lluvias, en junio, se tuvo una convección anómala en la circulación de Walker, lo que sumado al calentamiento del mar (isotermas de 26°C y 27°C cercanas a Tumbes) favoreció precipitaciones anómalas localizadas en Tumbes y parte de la sierra norte occidental.

Durante mayo y lo que va de junio de 2026, el Anticiclón del Pacífico Sur presentó frecuentes episodios de debilitamiento y alejamiento de su posición climatológica, favoreciendo el debilitamiento de los vientos costeros, principalmente en la costa central y sur del Perú. Estas condiciones contribuyeron al incremento de las anomalías cálidas de la TSM tanto en el litoral peruano como en la región Niño 1+2, así como al aumento de las temperaturas mínimas costeras.

Según los modelos del C3S, A escala mensual, entre julio y noviembre de 2026 se esperan anomalías de presión entre neutras y negativas en la región del APS, (especialmente entre julio y setiembre 2026) junto con anomalías de vientos del oeste en el Pacífico ecuatorial, configurando un escenario favorable para el incremento de la TSM y el posible desarrollo de un evento El Niño de tipo canónico.



*"Decenio de la Igualdad de Oportunidades para Mujeres y Hombres"  
"Año de la Esperanza y el Fortalecimiento de la Democracia"*

## 1. TEMPERATURA SUPERFICIAL DEL MAR EN EL PACÍFICO ECUATORIAL Y PERSPECTIVAS

Entre el 11 de mayo y el 20 de junio de 2026, las anomalías de la temperatura superficial del mar (TSM) a lo largo de la costa peruana, según el producto OSTIA, evidenciaron la persistencia e intensificación progresiva de condiciones cálidas. Los mayores valores se concentraron frente a la costa norte, alcanzando anomalías decadales promedio entre +3 °C y +5 °C (ver **Figuras 1a, 1b, 1c, 1d y 2**).

Por otro lado, los datos del producto OISSTv2.1<sup>1</sup> evidenciaron un incremento de las anomalías de TSM en la región Niño 1+2 en lo que va de junio, pasando de +2.6 °C (31 de mayo al 06 de junio 2026) a +2.7 °C (07 – 13 de junio 2026) y posteriormente a +3.0 °C (14 al 20 de junio 2026).

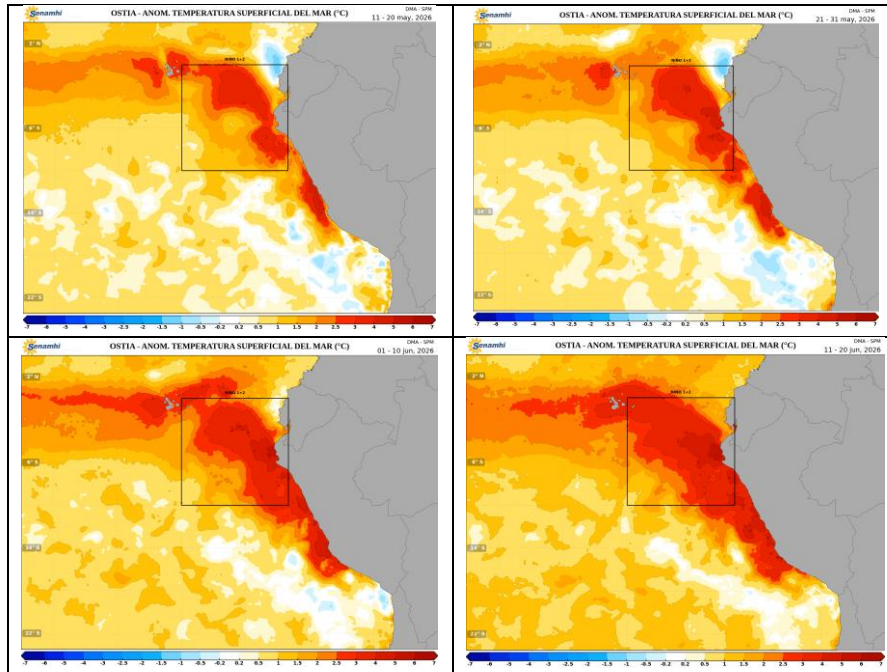
Actualmente (21 de junio), se observa una persistencia de las anomalías de la TSM en la región Niño 1+2, con valores de +3.05 °C en OSTIA y +3.08 °C en OISST. Desde la perspectiva del pronóstico subestacional, el modelo MERCATOR sugiere que hacia inicios de julio las anomalías de TSM en la región Niño 1+2 continuarían incrementándose, pudiendo alcanzar valores de hasta +3.17 °C hacia el 01 de julio del 2026 (ver **Figura 2**).

Respecto al Pacífico Central (región Niño 3.4), durante mayo se registraron anomalías positivas de la TSM entre +1.0°C y +1.5°C, con una persistente tendencia al incremento, de acuerdo con los productos OSTIA y OISST. En lo que va de junio, el incremento de anomalías de TSM persistió, superando el umbral de +1.5°C y actualmente se vienen presentando anomalías de TSM de +1.58 °C en OSTIA y +1.73 °C en OISST al 20-21 de junio. Desde la perspectiva de pronóstico, el modelo MERCATOR proyecta que, hacia el 01 de julio de 2026, las anomalías de TSM en el Pacífico Central podrían alcanzar +1.82 °C, evidenciando una persistencia hacia el incremento de la TSM (ver **Figura 3**).

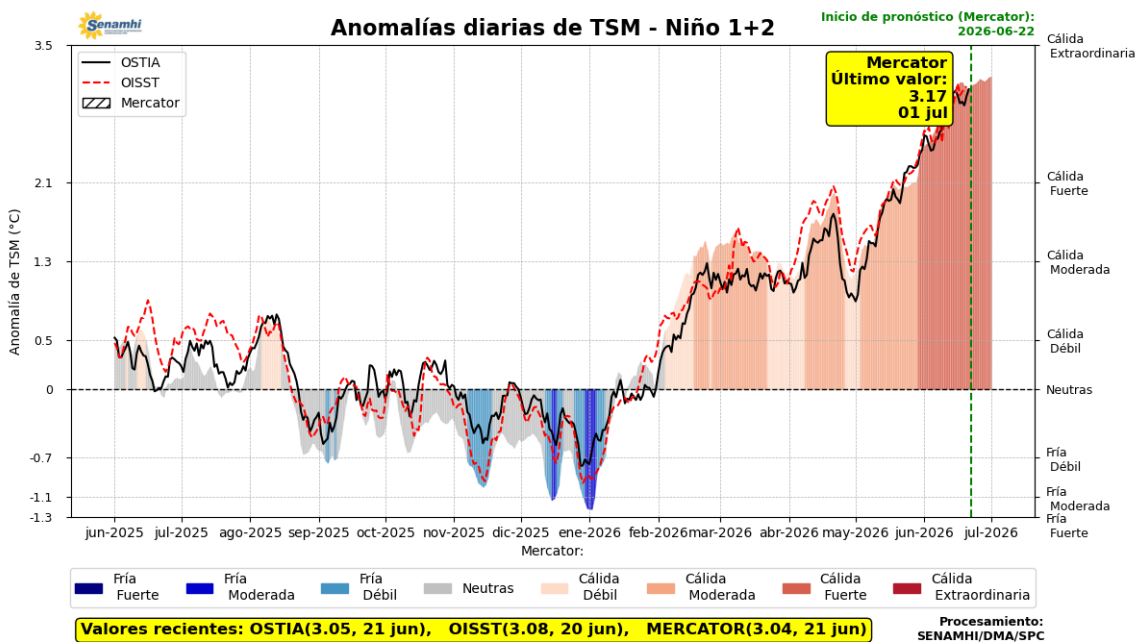
Finalmente, respecto a las perspectivas de la TSM para el período julio–noviembre de 2026, el pronóstico C3S multi-sistema indica una predominancia de condiciones cálidas a lo largo del Pacífico ecuatorial desde julio. Este calentamiento se intensificaría desde agosto hasta noviembre del 2026, con un incremento sostenido de las anomalías de TSM de hasta +2.0 °C lo cual, según los modelos del C3S, configurará un evento El Niño canónico (ver **Figura 4**).

<sup>1</sup> OISSTv2.1 data TSM Semanal: <https://www.cpc.ncep.noaa.gov/data/indices/wksst9120.for>

*"Decenio de la Igualdad de Oportunidades para Mujeres y Hombres"*  
*"Año de la Esperanza y el Fortalecimiento de la Democracia"*

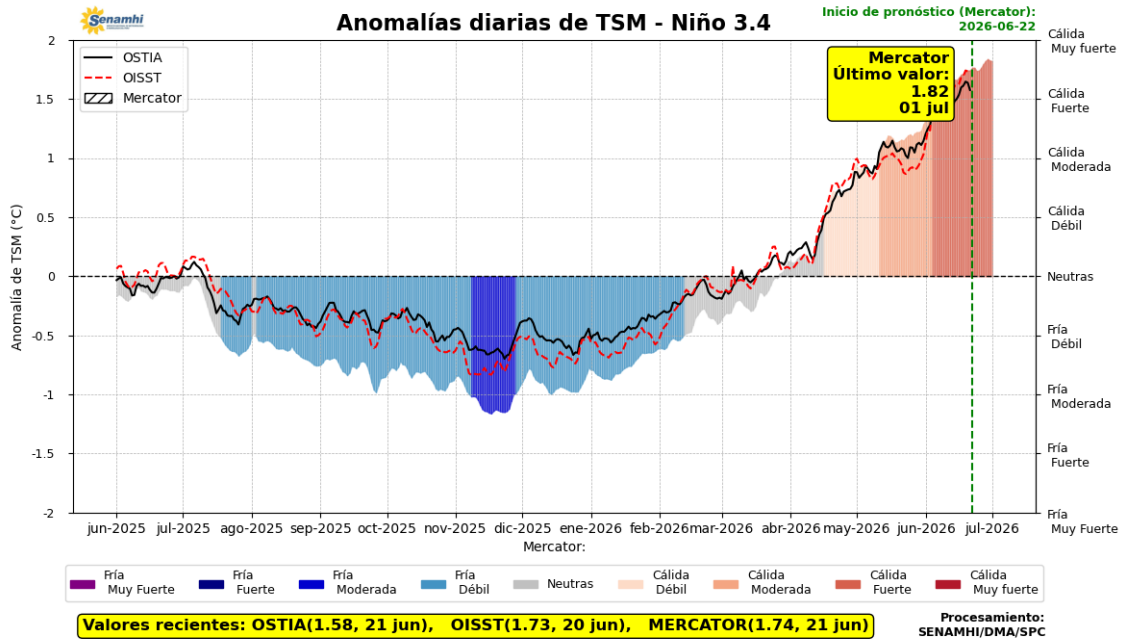


**Figura 1.** Promedios decadales de la anomalía de la temperatura superficial del mar (TSM) en el Pacífico Oriental del 11 de mayo al 20 de junio de 2026 (1a, 1b, 1c y 1d). Climatología 1981-2010. Fuente satelital: OSTIA. Procesamiento: SPM-SENAMHI.

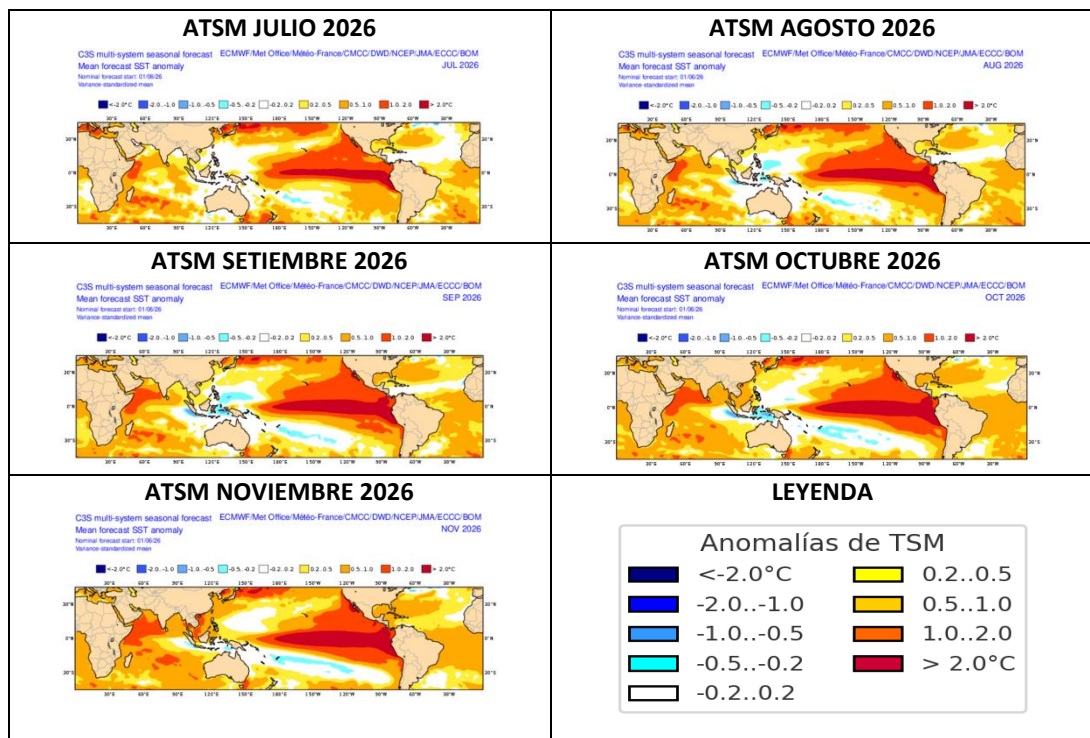


**Figura 2.** Anomalías diarias de la temperatura superficial del mar (TSM) en la región Niño 1+2 del 01 de junio 2025 al 21 de junio de 2026. Pronóstico del 22 de junio al 01 de julio 2026. Fuente: OSTIA, OISST, MERCATOR. Procesamiento: SPC-SENAMHI.

*"Decenio de la Igualdad de Oportunidades para Mujeres y Hombres"*  
*"Año de la Esperanza y el Fortalecimiento de la Democracia"*



**Figura 3.** Anomalías diarias de la temperatura superficial del mar (TSM) en la región Niño 3.4 del 01 de junio 2025 al 21 de junio de 2026. Pronóstico del 22 de junio al 01 de julio 2026. Fuente: OSTIA, OISST, MERCATOR. Procesamiento: SPC-SENAMHI.



**Figura 4.** Perspectivas mensuales de anomalías de TSM para el Pacífico ecuatorial del C3S multi-system seasonal forecast. Período: julio – noviembre 2026. Modelos: ECMWF/Met Office/Meteo-France/CMCC/DWD/NCEP/JMA/ECCC/BOM. Fuente: Copernicus.



*"Decenio de la Igualdad de Oportunidades para Mujeres y Hombres"  
"Año de la Esperanza y el Fortalecimiento de la Democracia"*

## 2. ÍNDICES ENSO

En mayo de 2026, los índices de monitoreo del Pacífico ecuatorial registraron valores negativos. El SOI y el EQSOI alcanzaron valores de -0.9 y -1.0, respectivamente, reflejando un incremento en los gradientes de presión favorables al desarrollo de anomalías de vientos del oeste en el Pacífico ecuatorial y una respuesta atmosférica más consistente con condiciones de calentamiento en el Pacífico central (ver **Figuras 3 y 5**).

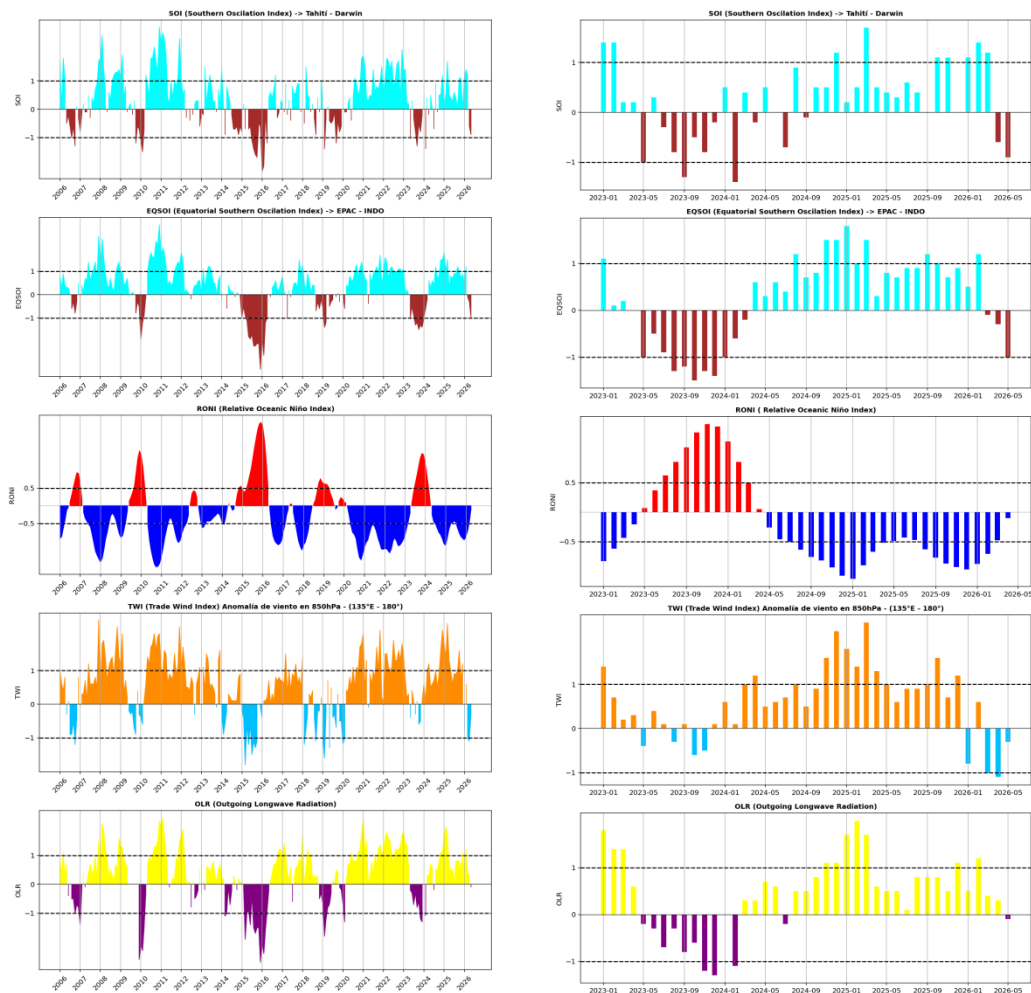
Esta señal también se observa en el índice TWI, que desde marzo viene registrando valores negativos (-1.0 en marzo, -1.1 en abril y -0.3 en mayo), evidenciando un debilitamiento persistente de los vientos alisios. Asimismo, el índice OLR registró en mayo un valor negativo de -0.1, marcando un cambio respecto a los meses previos y sugiriendo condiciones convectivas más favorables sobre el Pacífico central, en concordancia con la señal de calentamiento observada en dicha región (ver **Figuras 3 y 5**).

Respecto a las anomalías de TSM en el Pacífico central, el último valor del RONI centrado en abril alcanzó el valor de  $-0.1^{\circ}\text{C}^2$  (valor sujeto a cambios), con una condición neutra, aunque con una tendencia al incremento de las anomalías de TSM en la región Niño 3.4 —el índice aumentó  $0.3^{\circ}\text{C}$  respecto al RONI de marzo—. Asimismo, la anomalía mensual relativa de mayo 2026 según el ERSSTv5<sup>2</sup> reportó un valor de  $+0.45^{\circ}\text{C}$  (sujeto a actualizaciones). A nivel semanal, del 31 de mayo al 06 de junio, 7 al 13 de junio y 14 al 20 de junio el producto OISSTv2.1 indicó anomalías de  $+0.7^{\circ}\text{C}$ ,  $+0.9^{\circ}\text{C}$  y  $+1.1^{\circ}\text{C}$ , respectivamente, confirmando un calentamiento y una persistencia en el incremento de anomalías de TSM en la región Niño 3.4.

---

<sup>2</sup> RONI: [https://www.cpc.ncep.noaa.gov/products/analysis\\_monitoring/enso/roni/](https://www.cpc.ncep.noaa.gov/products/analysis_monitoring/enso/roni/)

*"Decenio de la Igualdad de Oportunidades para Mujeres y Hombres"  
"Año de la Esperanza y el Fortalecimiento de la Democracia"*



**Figura 5.** Índices mensuales asociados al ENSO (El Niño Southern Oscillation) desde mayo de 2006 hasta mayo de 2026 (izq.) y mayo del 2023 a mayo del 2026 (der.) con media móvil de 3 meses.

Procesamiento: SPC/SENAMHI.

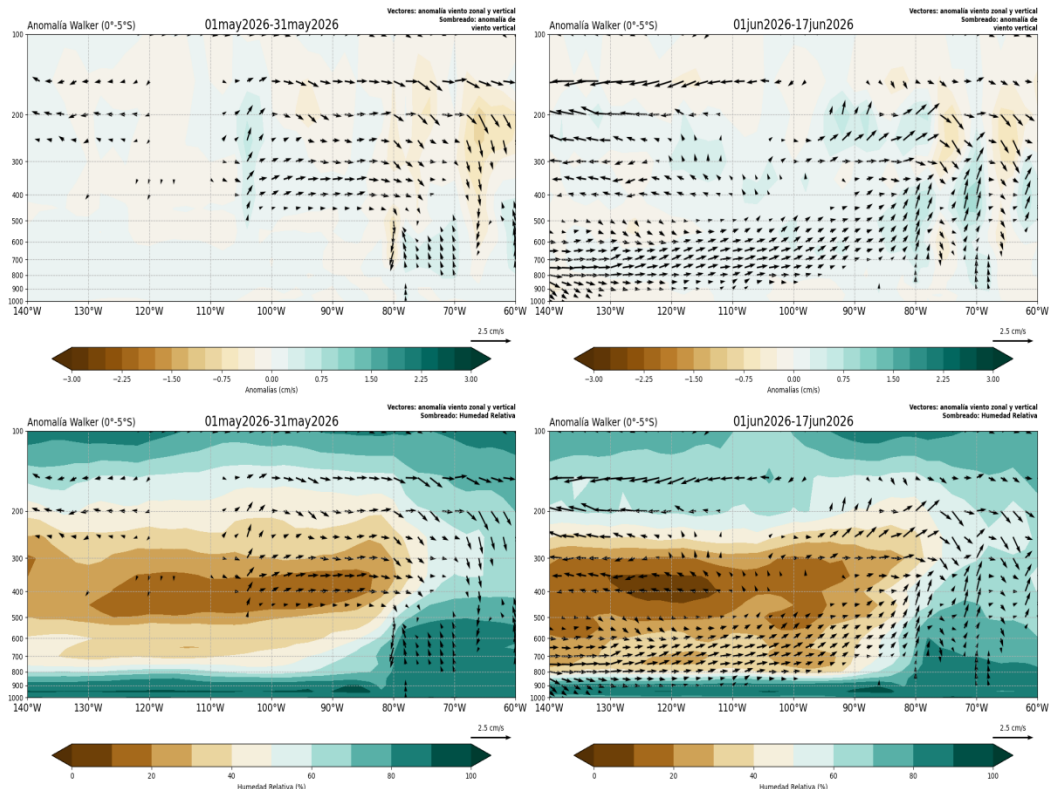
### 3. CIRCULACIÓN ECUATORIAL

En promedio, durante mayo de 2026 predominó una circulación subsidente entre los  $80^{\circ}\text{W}$ – $70^{\circ}\text{W}$  y  $0^{\circ}$ – $5^{\circ}\text{S}$ , sobre la región norte del Perú, extendiéndose desde niveles altos (200 hPa) hasta niveles medios (500 hPa). Por debajo de esta capa subsidente, entre niveles bajos (850 hPa) y medios (500 hPa), se observó el desarrollo de convección llana o poco profunda, limitada principalmente a la baja y media troposfera. Esta configuración atmosférica restringió el crecimiento vertical de las nubes hacia niveles altos, inhibiendo la formación de sistemas convectivos profundos. Como consecuencia, las precipitaciones registradas fueron mayormente localizadas y de menor extensión espacial, concentrándose principalmente en la selva norte y, de manera puntual, en sectores de la vertiente nororiental del país (ver **Figuras 6a y 16a**).

Posteriormente, en lo que va de junio, dentro de la temporada de menores lluvias, se tuvieron patrones anómalamente convectivos a lo largo de la región norte del Perú, lo que favoreció superávits de lluvias, principalmente en Tumbes y la sierra norte occidental, en donde se presentaron anomalías de hasta +800% en lo que va de junio

"Decenio de la Igualdad de Oportunidades para Mujeres y Hombres"  
"Año de la Esperanza y el Fortalecimiento de la Democracia"

(ver Figuras 6b, 16b y 16c).



**Figura 6.** Análisis de la circulación atmosférica (Walker) en el HS (0° - 5°S) para mayo de 2026 (izquierda) y lo que va de junio (1 al 17 de junio) del 2026 (derecha) con vientos (vectores), anomalías de velocidad vertical (sombreado imágenes superiores) y humedad relativa (sombreado imágenes inferiores). Fuente: ECMWF. Procesamiento: SPC/SENAMHI.

#### 4. CIRCULACIÓN EN SUPERFICIE

El Anticiclón del Pacífico Sur (APS) presentó durante mayo de 2026 episodios de desplazamiento fuera de su posición climatológica, así como debilitamientos en la intensidad de su núcleo (1 al 5, 11 al 15, 16 al 20, 21 al 25 y 26 al 30 de mayo). Estas configuraciones favorecieron episodios de debilitamiento de los vientos a lo largo de la costa, lo que contribuyó a la persistencia e incremento de las anomalías de la TSM a lo largo del litoral y al consiguiente aumento de las temperaturas mínimas en la costa peruana (ver Figuras 1, 7, 10 y 17a).

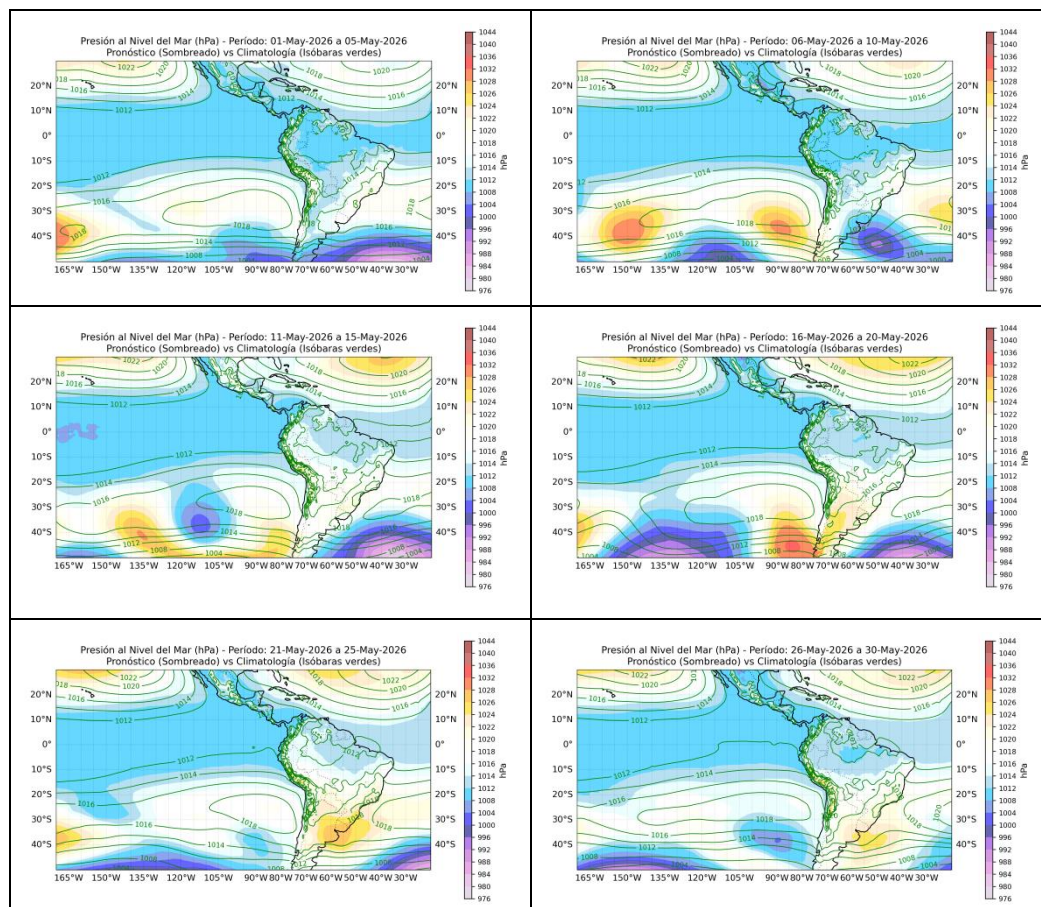
En lo que va de junio, han predominado episodios de debilitamiento y desplazamiento del Anticiclón del Pacífico Sur (APS) respecto de su posición climatológica (1–5, 6–10 y 11–15 de junio), favoreciendo la persistencia de vientos costeros debilitados y el mantenimiento de anomalías cálidas de la temperatura superficial del mar (TSM) tanto a lo largo de la costa peruana como en la región Niño 1+2. En contraste, entre el 19 y el 21 de junio se registró un episodio transitorio de intensificación del APS, que promovió un fortalecimiento temporal de los vientos, principalmente frente a la costa sur. Sin embargo, el predominio de condiciones asociadas a un APS debilitado durante gran parte del mes ha favorecido la persistencia de vientos costeros por debajo de lo normal, contribuyendo al incremento y expansión de las anomalías positivas de TSM en las zonas

*"Decenio de la Igualdad de Oportunidades para Mujeres y Hombres"  
"Año de la Esperanza y el Fortalecimiento de la Democracia"*

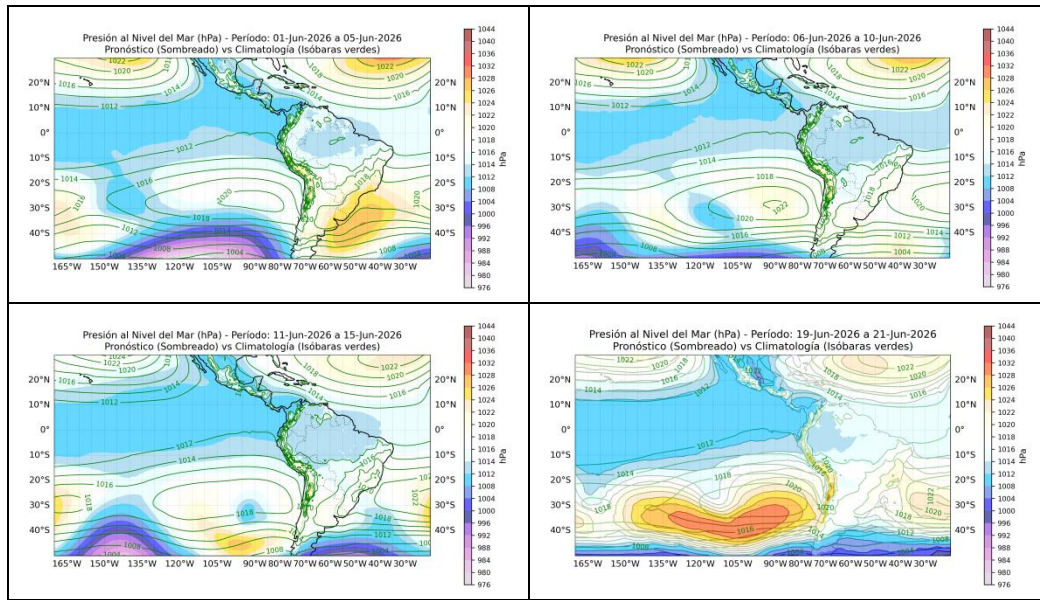
costeras (ver **Figuras 1, 2, 7 y 10**).

De acuerdo con el pronóstico, entre el 22 de junio y el 1 de julio se prevé episodios de intensificación del APS y posterior ingreso como alta migratoria a continente, lo que incrementaría el gradiente de presión APS – Costa y propiciaría una intensificación breve de los vientos costeros, principalmente en la costa sur. En contraste, del 2 al 6 de julio se tendría un APS ya en continente, posicionado como alta migratoria y una disminución significativa del gradiente de presión, lo que nuevamente favorecería un debilitamiento de vientos importantes y la persistencia de condiciones cálidas de TSM en la costa peruana (ver **Figuras 1, 2, 8, 9 y 10**).

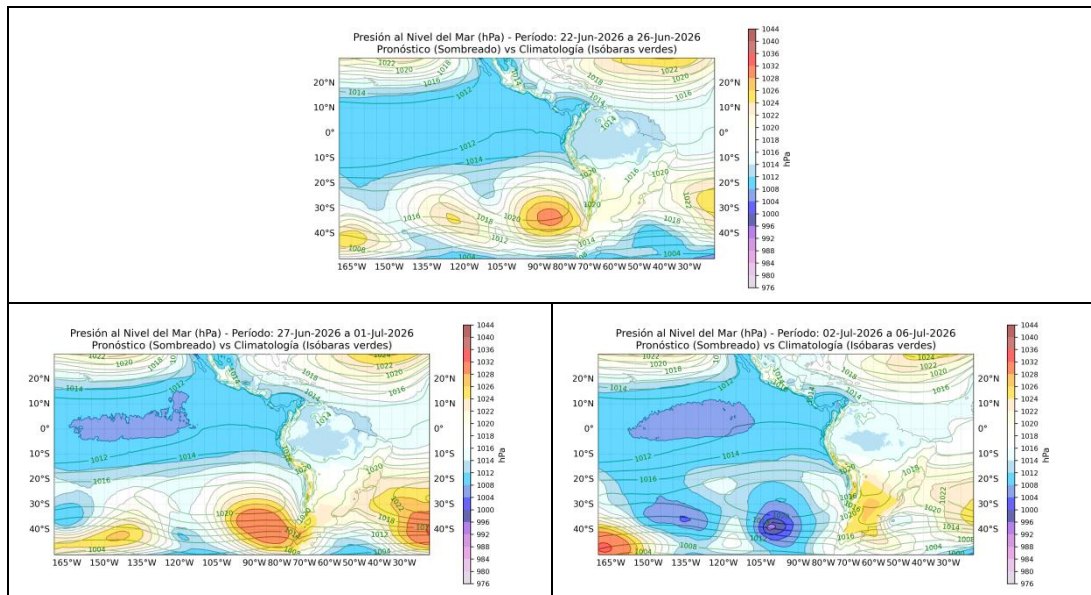
En cuanto a las perspectivas mensuales, para los meses de julio a noviembre 2026 se prevén anomalías de presión predominantemente negativas en la ubicación climatológica del APS, principalmente de junio a setiembre del 2026. Este comportamiento reflejaría una probable reducción del gradiente de presión entre el APS y la costa, favoreciendo el incremento de anomalías de TSM costeras. Asimismo, hay una predominancia de anomalías de vientos del oeste desde el Pacífico occidental hacia el Pacífico central. Estas condiciones evidencian un patrón consistente con el aumento de las anomalías de la TSM y el posible desarrollo de un evento El Niño canónico, tal como se observa en los escenarios mensuales de los ensembles del sistema C3S (ver **Figuras 4 y 11**).



*"Decenio de la Igualdad de Oportunidades para Mujeres y Hombres"  
"Año de la Esperanza y el Fortalecimiento de la Democracia"*

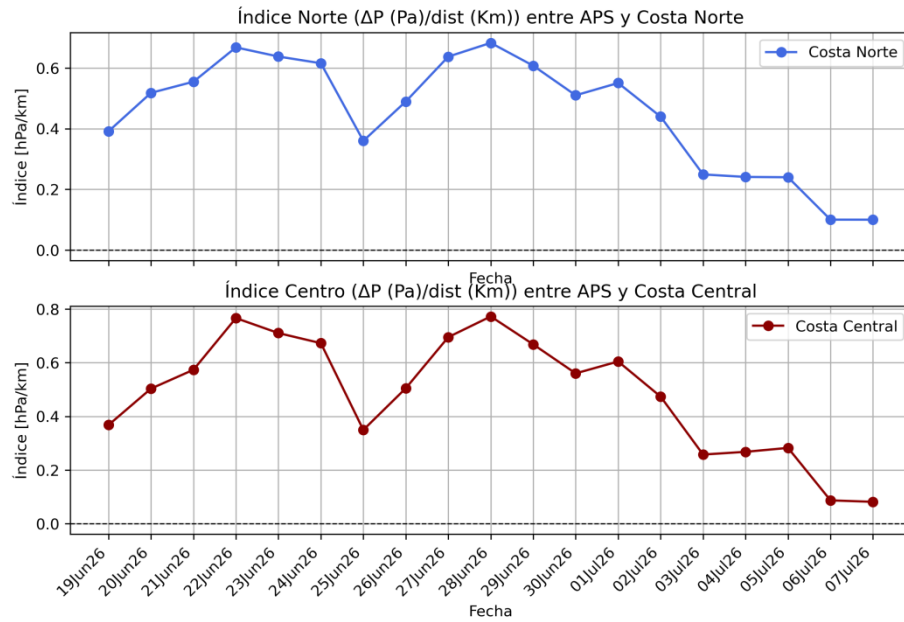


**Figura 7.** Promedio pentadal de la presión atmosférica reducida a nivel del mar (sobreado) y su climatología (contornos verdes). Período: 01 de mayo al 21 de junio 2026. Fuente: ECMWF. Procesamiento: SPC - SENAMHI.

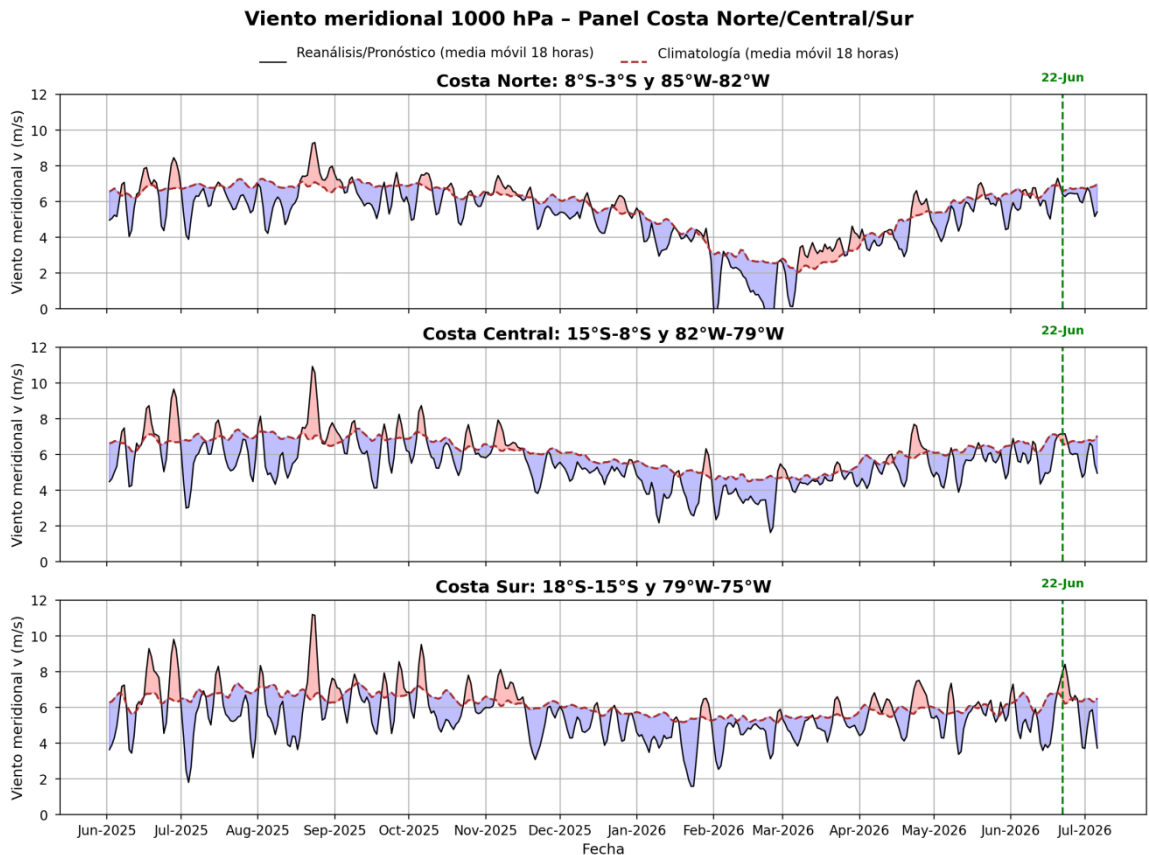


**Figura 8.** Promedio pentadal de la presión atmosférica reducida a nivel del mar (sobreado) y su climatología (contornos verdes). Pronóstico: 22 de junio al 06 de julio 2026. Fuente: ECMWF. Procesamiento: SPC - SENAMHI.

"Decenio de la Igualdad de Oportunidades para Mujeres y Hombres"  
"Año de la Esperanza y el Fortalecimiento de la Democracia"

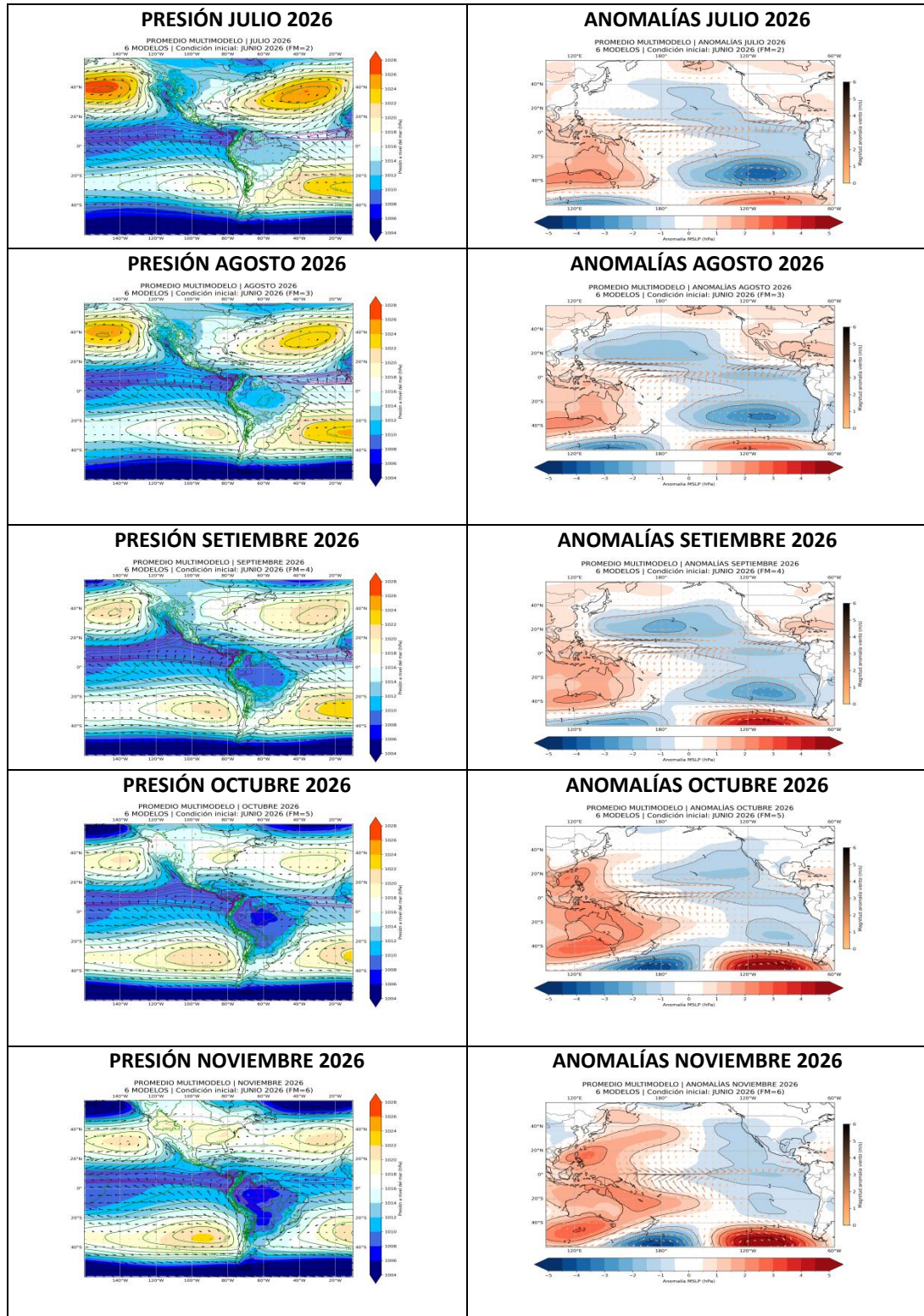


**Figura 9.** Relación entre el gradiente del núcleo del APS (Pa) y la distancia (km) del APS a la (a) costa norte y (b) costa central. Condiciones actuales: 19 al 21 de junio 2026. Pronóstico: 22 junio al 06 julio de 2026. Fuente: ECMWF. Procesamiento: SPC - SENAMHI.



**Figura 10.** Magnitud de viento meridional a 1000 hPa (línea negra) y climatología (línea roja punteada). Las áreas rojas y azules muestran intensificación y disminución de vientos meridionales respectivamente. Análisis: 01 de junio 2025 al 21 de junio del 2026. Pronóstico: 22 de junio al 06 de julio de 2026. Fuente ECMWF; Procesamiento: SPC-SENAMHI.

*"Decenio de la Igualdad de Oportunidades para Mujeres y Hombres"*  
*"Año de la Esperanza y el Fortalecimiento de la Democracia"*



**Figura 11.** Perspectivas mensuales de la presión a nivel del mar y sus anomalías correspondientes en el Pacífico Oriental. Período: julio – noviembre 2026. Fuente ECMWF: Procesamiento: SPC-SENAMHI.

*"Decenio de la Igualdad de Oportunidades para Mujeres y Hombres"  
"Año de la Esperanza y el Fortalecimiento de la Democracia"*

## 5. VARIABILIDAD INTRAESTACIONAL Y PERSPECTIVAS SUBESTACIONALES

Entre mediados y fines de mayo de 2026, en la alta tropósfera (200 hPa), sobre la región ecuatorial y la franja tropical se tuvo el arribo de la Oscilación Madden Julián (MJO), abarcando gran parte del Perú ( $5^{\circ}\text{N}$ – $5^{\circ}\text{S}$ ,  $90^{\circ}\text{W}$ – $60^{\circ}\text{W}$  y  $5^{\circ}\text{S}$ – $15^{\circ}\text{S}$ ,  $90^{\circ}\text{W}$ – $60^{\circ}\text{W}$ ). Esta configuración favoreció superávits de lluvias principalmente hacia la región sur y parte de la región central del Perú, sin embargo, hacia la región norte se presentaron patrones de convección llana, lo que limitó el desarrollo convectivo principalmente hacia la costa y sierra norte del Perú, donde predominaron déficits de precipitación. (ver **Figuras 6a, 12a, 12b y 17a**).

Posteriormente, en lo que va de junio, hacia la temporada seca se tuvo brevemente valores de velocidad potencial convergentes ( $5^{\circ}\text{N}$ – $5^{\circ}\text{S}$ ,  $90^{\circ}\text{W}$ – $60^{\circ}\text{W}$  y  $5^{\circ}\text{S}$ – $15^{\circ}\text{S}$ ,  $90^{\circ}\text{W}$ – $60^{\circ}\text{W}$ ), no obstante, la convección de la celda de Walker y el calentamiento del mar en general propiciaron lluvias principalmente en Tumbes y la sierra norte occidental (ver **Figuras 6b, 12a, 12b, 16b y 16c**).

Desde la fecha de pronóstico (21 de junio), se prevé el arribo de la fase divergente de la MJO, principalmente hacia el Pacífico central, que podría favorecer el debilitamiento de vientos alisios en superficie, favoreciendo el calentamiento en el Pacífico ecuatorial. Asimismo, la predominancia de condiciones divergentes podrían propiciar lluvias localizadas, principalmente en la Amazonía (ver **Figuras 12a y 12b**).

En niveles bajos (850 hPa) y dentro de la franja ecuatorial ( $5^{\circ}\text{S}$ – $5^{\circ}\text{N}$ ), durante mayo predominaron anomalías de vientos del oeste sobre el Pacífico occidental y parte del Pacífico central ( $150^{\circ}\text{E}$ – $150^{\circ}\text{W}$ ). Este patrón contribuyó al calentamiento progresivo de la TSM en la región Niño 3.4, que, a nivel diario presenta anomalías de TSM positivas superando el umbral de  $+0.5^{\circ}\text{C}$  (ver **Figuras 3 y 13**).

Posteriormente, en lo que va de junio, persistieron los pulsos del oeste en el Pacífico occidental y central, los cuales tienen una mayor intensidad y extensión respecto al anterior mes y están favoreciendo un mayor incremento de anomalías de TSM en la región Niño 3.4 (ver **Figuras 3 y 13**).

Desde la fecha de inicio del pronóstico (21 de junio), se prevé que los pulsos de vientos del oeste en el Pacífico occidental y central se intensifiquen, favoreciendo incrementos en las anomalías de TSM en la región Niño 3.4. En concordancia con los modelos del sistema C3S, este comportamiento sugiere una evolución hacia condiciones de calentamiento en el Pacífico central y un evento El Niño canónico (ver **Figuras 4 y 13**).

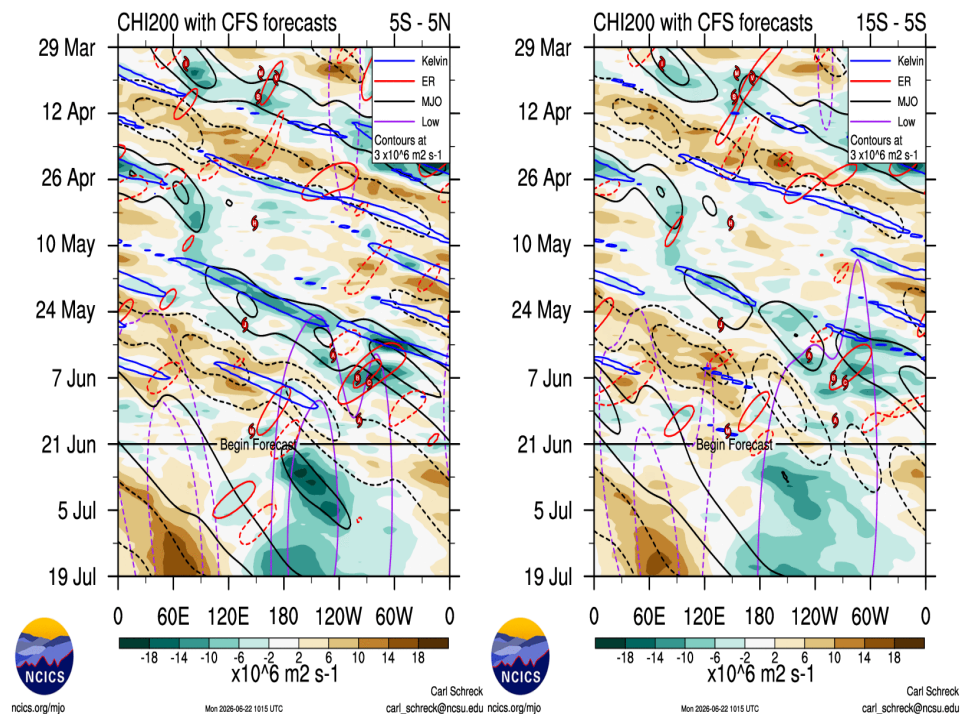
En niveles altos de la tropósfera (200 hPa), en el mes de mayo de 2026, en el dominio  $5^{\circ}\text{N}$ – $5^{\circ}\text{S}$  y  $90^{\circ}\text{W}$ – $60^{\circ}\text{W}$  —asociado a la región norte del Perú— se presentaron episodios de vientos del oeste intensificados, condición que limitó el desarrollo vertical de nubosidad, por lo que solo se produjeron lluvias localizadas hacia la Amazonía norte y parte de la sierra norte (ver **Figuras 14 y 16a**).

Posteriormente, durante el transcurso de junio, se presentaron anomalías de vientos del

"Decenio de la Igualdad de Oportunidades para Mujeres y Hombres"  
"Año de la Esperanza y el Fortalecimiento de la Democracia"

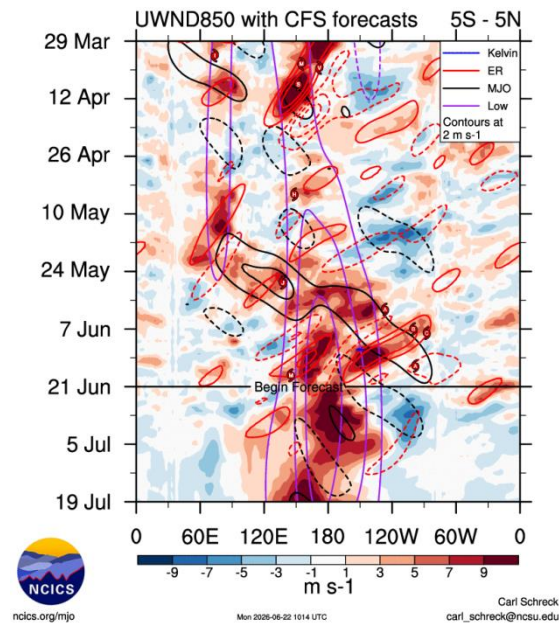
oeste; sin embargo, la convección asociada a la celda de Walker y el incremento de la TSM cercanos a 26-27°C favoreció la ocurrencia de superávits de precipitación, hacia Tumbes y la sierra norte occidental (ver Figuras 6b, 14, 16b y 16c).

A partir de la fecha de inicio del pronóstico (21 de junio), se prevé un predominio de anomalías de viento del oeste, lo cual podría limitar el desarrollo vertical de nubosidad y, en consecuencia, reducir los acumulados de precipitación, principalmente en la selva. Cabe mencionar que hacia junio, se desarrolla la temporada de menores lluvias, por lo cual, se esperaría que a lo largo de la costa y la sierra los acumulados de lluvias no sean significativos (ver Figura 14).

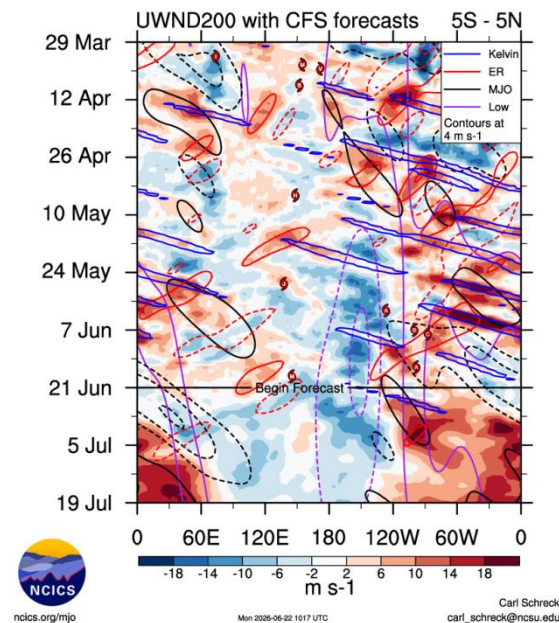


**Figura 12.** Anomalía de la velocidad potencial en 200 hPa entre los (a) 5°N - 5°S y los (b) 5°S - 15°S a lo largo de la línea ecuatorial. Análisis: 29 marzo al 20 junio del 2026. Pronóstico: 21 de junio al 19 de julio 2026. Anomalías positivas (marrón), anomalías negativas (verdes). La línea negra indica la fecha en que inicia el pronóstico de acuerdo al modelo CFS. Fuente: NCICS-NOAA.

"Decenio de la Igualdad de Oportunidades para Mujeres y Hombres"  
"Año de la Esperanza y el Fortalecimiento de la Democracia"



**Figura 13.** Anomalía del viento zonal en 850 hPa entre los 5°N y 5°S a lo largo de la línea ecuatorial. Análisis: 29 marzo al 20 junio del 2026. Pronóstico: 21 de junio al 19 de julio 2026. Anomalías positivas (rojo), anomalías negativas (azul). La línea negra indica la fecha en que inicia el pronóstico de acuerdo al modelo CFS. Fuente: NCICS-NOAA.



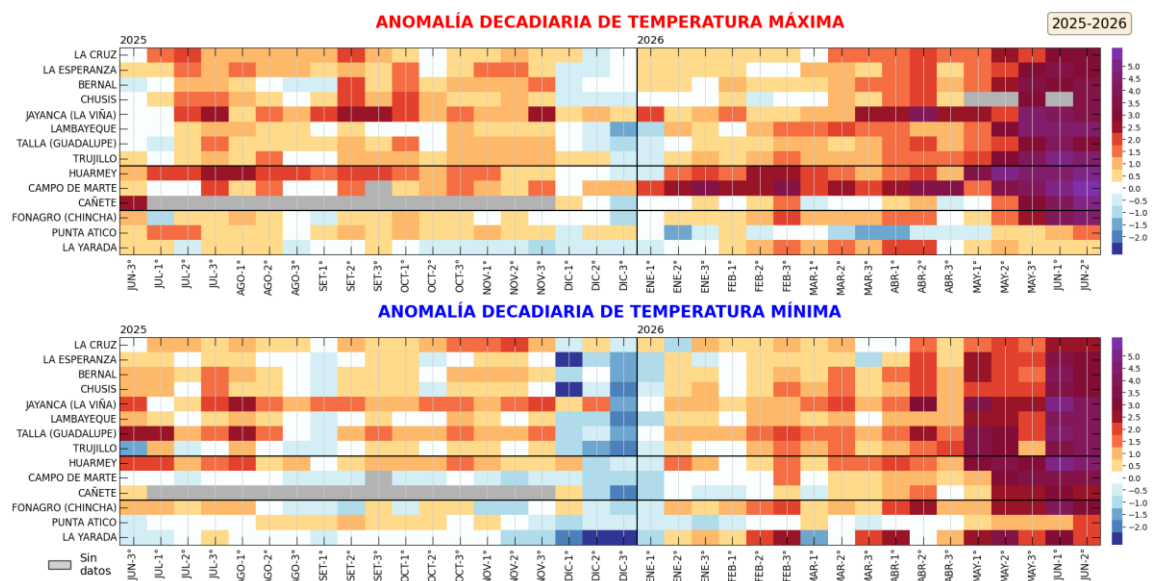
**Figura 14.** Anomalía del viento zonal en 200 hPa entre los 5°N y 5°S a lo largo de la línea ecuatorial. Análisis: 29 marzo al 20 junio del 2026. Pronóstico: 21 de junio al 19 de julio 2026. Anomalías positivas (rojo), anomalías negativas (azul). La línea negra indica la fecha en que inicia el pronóstico de acuerdo al modelo CFS. Fuente: NCICS-NOAA.

## 6. MONITOREO TERMOPLUVIOMÉTRICO

Durante mayo de 2026, se registró un incremento generalizado tanto de las temperaturas máximas como mínimas a lo largo de la costa, en respuesta al

*"Decenio de la Igualdad de Oportunidades para Mujeres y Hombres"  
"Año de la Esperanza y el Fortalecimiento de la Democracia"*

calentamiento de la TSM asociado al arribo de ondas de Kelvin cálidas y al debilitamiento de los vientos costeros. Los mayores incrementos de la temperatura máxima se concentraron en las estaciones de Campo de Marte, Huarney y Trujillo con anomalías mayores a  $+3$  °C. Análogamente, la temperatura mínima presentó sus mayores anomalías positivas (mayores a  $+3$ °C) en las estaciones costeras de Huarney, Trujillo y Talla. Posteriormente, durante junio de 2026, las anomalías de temperatura se intensificaron de manera notable, con un marcado aumento de anomalías de  $+3$ °C a lo largo del litoral, con una contribución del debilitamiento del APS y los vientos costeros. Los valores más elevados de anomalías de temperatura del aire se observaron en la costa central y norte, con anomalías de entre  $+3.0$ °C hasta  $+5.0$ °C (ver **Figuras 1, 2, 10 y 15**).



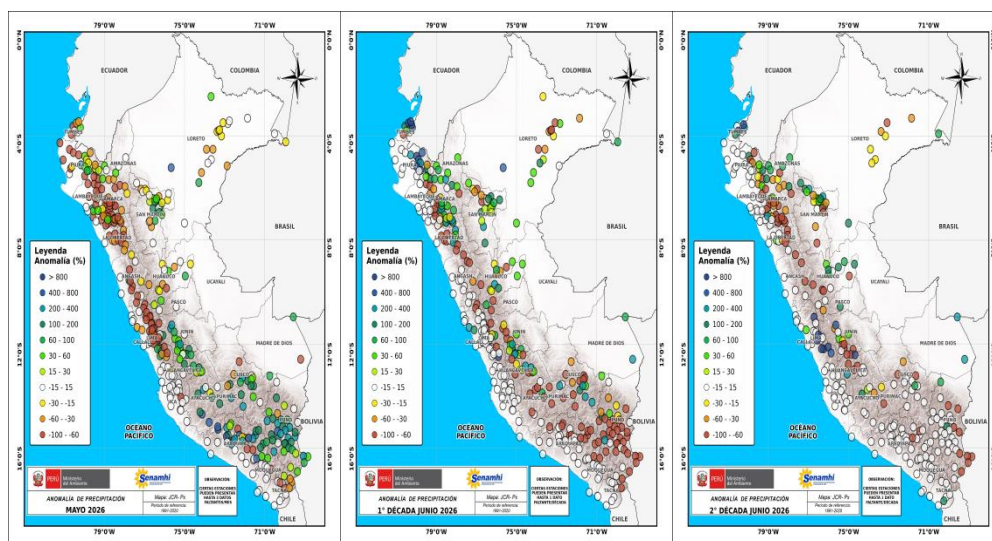
**Figura 15.** Anomalía de las temperaturas del aire máxima (a) y mínima (b) en las estaciones costeras del SENAMHI de la 2da década de junio 2025 a la 2da década de junio 2026. Fuente y procesamiento: SENAMHI.

Durante mayo de 2026, predominaron déficits de precipitación principalmente hacia la costa norte, sierra norte y sierra central occidental, mientras que, principalmente hacia la región sur predominaron superávits de lluvias en el rango de  $+30\%$  a  $+800\%$ . Los déficits en la costa y sierra norte respondieron a la predominancia de convección llana en la región (ver **Figuras 6a, 12a, 14a y 16a**). Posteriormente, entre el 1 al 10 de junio, se configuró un escenario con superávits de precipitación, principalmente en Tumbes y la sierra norte occidental, asociados a una mayor convección en la celda de Walker y un incremento notable de la TSM cercano a  $26-27$ °C, con anomalías de lluvias de hasta  $+800\%$  (ver **Figuras 16b y 16c**).

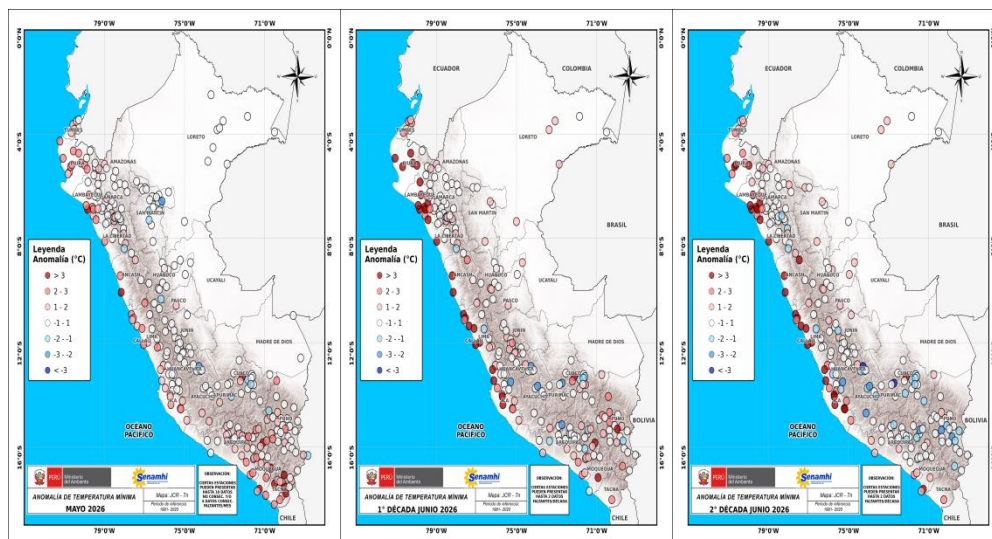
En cuanto a las temperaturas mínimas, durante mayo predominaron condiciones entre normales y cálidas a lo largo de la costa y la vertiente occidental, directamente asociadas al calentamiento del mar y a la evolución de El Niño costero; mientras que, en el resto de la región se tuvo un predominio de temperaturas cercanas a lo normal.

*"Decenio de la Igualdad de Oportunidades para Mujeres y Hombres"*  
*"Año de la Esperanza y el Fortalecimiento de la Democracia"*

Durante junio, se intensificó el incremento de temperaturas en la costa y vertiente occidental asociado a la intensificación de anomalías de TSM frente al litoral costero. Asimismo, la disminución de la humedad hacia la región andina sur propició descensos de temperaturas mínimas reflejadas en las anomalías (ver Figuras 1, 2, 17a, 17b y 17c).



**Figura 16.** Anomalia de precipitación (%) en mayo 2026 (a), del 1 al 10 de junio 2026 (b) y del 11 al 20 de junio 2026 (c). Climatología 1991-2020. Fuente y Procesamiento: SENAMHI.



**Figura 17.** Anomalia de temperatura mínima (°C) en mayo 2026 (a), del 1 al 10 de junio 2026 (b) y del 11 al 20 de junio 2026 (c). Climatología 1991-2020. Fuente y Procesamiento: SENAMHI.



PERÚ

Ministerio  
del Ambiente

Servicio Nacional de  
Meteorología e Hidrología  
del Perú - SENAMHI

SUBDIRECCION DE  
PREDICCIÓN CLIMÁTICA



*"Decenio de la Igualdad de Oportunidades para Mujeres y Hombres"  
"Año de la Esperanza y el Fortalecimiento de la Democracia"*

**Análisis y redacción:**

Javier Chiong

**Contribuciones:**

Grinia Ávalos, Ricardo Passuni, Dora Marín, Nelson Quispe.

**Próxima actualización:** 21 de julio de 2026

Se invita a acceder a los siguientes sitios del portal institucional:

**Avisos Meteorológicos**

<https://www.senamhi.gob.pe/?p=aviso-meteorologico>

**Pronósticos climáticos de lluvias, temperaturas máximas y mínima del aire**

<https://www.senamhi.gob.pe/?p=pronostico-climatico>

**Comunicados ENFEN sobre las condiciones EL NIÑO/LA NIÑA**

<https://www.senamhi.gob.pe/?p=fenomeno%2Del%2Dnino>

**Boletines informativos**

<https://www.senamhi.gob.pe/?p=boletines>

**Boletines de sequías**

<https://www.senamhi.gob.pe/?p=sequias>

© 2026 SENAMHI-PERÚ Jr. Cahuide 758 Jesús María – Lima; Teléfono: 6-141414 [clima@senamhi.gob.pe](mailto:clima@senamhi.gob.pe),

[pronosticador@senamhi.gob.pe](mailto:pronosticador@senamhi.gob.pe) | [www.senamhi.gob.pe](http://www.senamhi.gob.pe)

Pronóstico del Tiempo: 51 1 - 6141407 anexo 447

Predicción Climática: 51 1 - 6141414 anexo 475

Lima – Perú